

**A**

Kurven:  $\rightarrow$  stetige Abbildung  $\gamma: [a, b] \rightarrow \mathbb{R}^n$ .

• Weg:  $\hat{=} \text{ Bild } \Gamma = \gamma([a, b])$   $\xrightarrow{\text{L}} \Gamma$  [ $\gamma = \text{Parametrisierung}$  von  $\Gamma$ ]

• Einfachheit: Falls  $\gamma$  injektiv ("doppel punktfrei")  $\xrightarrow{\text{L}} \gamma$   $\xrightarrow{\text{nicht einfach}} \gamma$  ✓

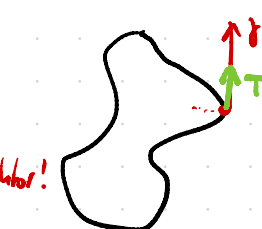
• Geschlossenheit: Falls  $\gamma(a) = \gamma(b)$

$\xrightarrow{\text{L}} \gamma$  ✓



• C<sup>1</sup>-Kurve: Falls  $\gamma$  stetig diff'bar

$\xrightarrow{\text{L}} \gamma$  ✓



• Tangentenvektor im Pkt.  $\gamma(t)$ :  $\gamma'(t) = (\gamma_1'(t), \dots, \gamma_n'(t))^T$

• Glättigkeit: Falls  $\gamma$  eine  $C^1$ -Kurve &  $\|\gamma'(t)\| \neq 0 \forall t \in [a, b]$

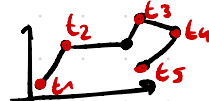
• Tangentialerheitsvektor für glatte Kurven:  $T: [a, b] \rightarrow \mathbb{R}^n$ :  $T(t) := \frac{\gamma'(t)}{\|\gamma'(t)\|} \Rightarrow \|T(t)\| = 1$  ✓

• Umparametrisierung:  $\tilde{\gamma} := \gamma \circ \phi: [c, d] \rightarrow [a, b] \rightarrow \mathbb{R}^n$ ,  $t \mapsto \gamma(\phi(t))$

→ Falls  $\phi$  Diffeomorphismus ("gute Transfo") &  $\gamma \in C^1 \Rightarrow \tilde{\gamma} \in C^1$

geht nur für glatte Kurven!  
aber  $\tilde{\gamma}$  ist nicht glatt

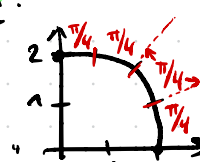
• Stückweise Eigenschaften:



→ z.B. Polygonzug stückweise glatt

• Bogenlänge für  $C^1$ -Kurven:

$$\rightarrow L(\gamma) = \int_a^b \|\gamma'(t)\| dt$$



"Quasi Maßband an Kurve anlegen"

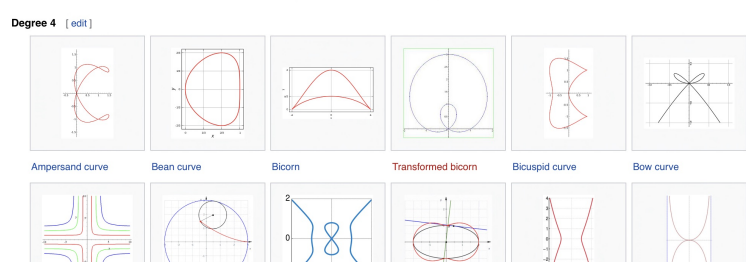
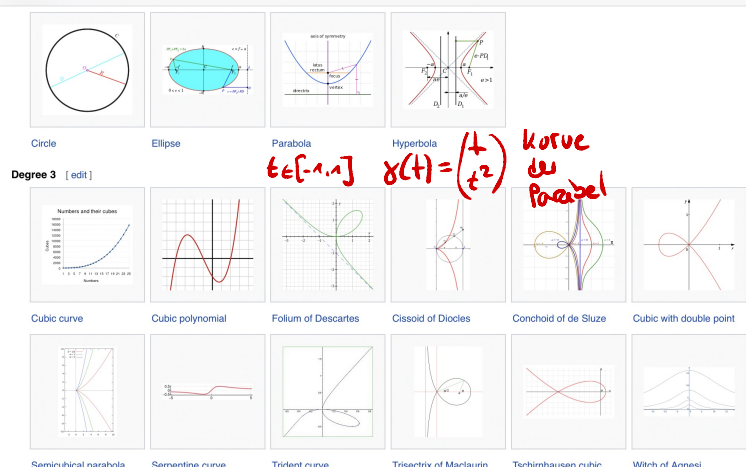
• Invarianz Bogenlänge unter Umparametrisierung:

Sei  $\phi: [c, d] \rightarrow [a, b]$  Diffeomorphismus und  $\tilde{\gamma} := \gamma \circ \phi$ , dann

$$L(\tilde{\gamma}) = \int_c^d \|\tilde{\gamma}'(s)\| ds = \int_a^b \|\gamma'(\phi(s))\| |\phi'(s)| ds = \int_a^b \|\gamma'\| dt = L(\gamma)$$

$\|\gamma\| = 1$  wäre schön.... 😊

weil sub  
 $t = \phi(s)$   
 $\phi'(s) ds = dt$



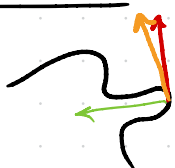
Natürliche Parametrisierung:  $\gamma: [0, L] \rightarrow \mathbb{R}^n$  ist nat. Param. eines

Weges  $\Gamma$  falls  $\|\gamma'(t)\|_2 = 1$ . [Einheits Ablese der Bogenlänge]  $\gamma(t)$

→ Konstruktion: Benutze Diffeomorphismus  $\psi: [a, b] \rightarrow [0, L]$

mit  $t \mapsto \psi(t) := \int_a^t \|\gamma'(s)\| ds$  und nach  $t$  umformen und einsetzen in  $\gamma$

Normaleneinheitsvektor: Sei  $T(t) := \frac{\gamma'(t)}{\|\gamma'(t)\|}$  Tangentenvektor, dann

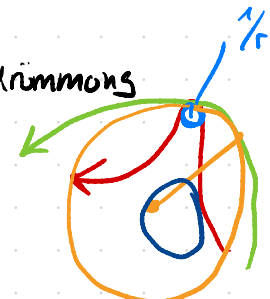


$N(t) := \frac{T'(t)}{\|T'(t)\|}$  Normalenvektor.

Krümmung: Sei  $\gamma$  eine natürliche Param., dann ist die Krümmung von  $\gamma$  in  $\gamma$ :

$$\kappa(\gamma) := \|T'(\gamma)\|$$

Kreiskrümmung:  $\gamma: [0, 2\pi] \rightarrow \mathbb{R}$ ,  $s \mapsto \gamma(s) = \begin{bmatrix} r \cos(\frac{s}{r}) \\ r \sin(\frac{s}{r}) \end{bmatrix}$

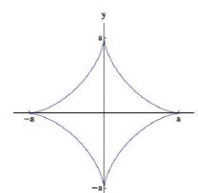


$$\gamma'(s) = \begin{bmatrix} -\sin(\frac{s}{r}) \\ \cos(\frac{s}{r}) \end{bmatrix} \Rightarrow T(t) = \frac{\gamma'(t)}{\|\gamma'(t)\|_2} = \gamma'(t) \text{ weil } \|\gamma'(t)\|_2 = \sqrt{\sin^2 + \cos^2} = 1$$

$$\Rightarrow T'(\gamma) = \begin{bmatrix} -\frac{1}{r} \cos(\frac{s}{r}) \\ -\frac{1}{r} \sin(\frac{s}{r}) \end{bmatrix} \Rightarrow \kappa(\gamma) = \sqrt{\frac{1}{r^2} (\sin^2 + \cos^2)} = \frac{1}{r}$$



Aufgabe 68. (Bogenlänge einer Kurve)



Beispiel: a) Check: Bdg. muss erst parametrisiert werden!

$$x^{2/3} + y^{2/3} = a^{2/3} \text{ mit } \gamma: [0, 2\pi] \rightarrow \mathbb{R}^2$$

$$[a \cos^3(t)]^{2/3} + [a \sin^3(t)]^{2/3} = a^{2/3}$$

The so-called astroid (Sternkurve) is described by the Cartesian equation

$$x^{2/3} + y^{2/3} = a^{2/3}$$

for some  $a > 0$ .

$$\gamma(t) = \begin{bmatrix} a \cos^3(t) \\ a \sin^3(t) \end{bmatrix}$$

$$\Leftrightarrow a^{2/3} \cos^2(t) + a^{2/3} \sin^2(t) = a^{2/3} \quad \checkmark$$

b) Bogenlänge:  $L(\gamma) = \int_0^{2\pi} \|\gamma'(t)\|_2 dt$

$$\text{Daten } \gamma'(t) = \begin{bmatrix} \frac{d}{dt}(a \cos^3(t)) \\ \frac{d}{dt}(a \sin^3(t)) \end{bmatrix} = \begin{bmatrix} -3a \cos^2(t) \sin(t) \\ 3a \sin^2(t) \cos(t) \end{bmatrix}$$

a) Verify that the astroid can be expressed in parametric form  $\gamma: [0, 2\pi] \rightarrow \mathbb{R}^2$  for

$$x(t) = a \cos^3 t \quad ; \quad y(t) = a \sin^3 t$$

b) Find the length of the astroid.

c) Find the area of the astroid using the change of variables  $F: (x, y) \mapsto (r, \varphi)$  defined as

$$x = r \cos^3 \varphi, \quad y = r \sin^3 \varphi$$

Begin by verifying that

$$J(r, \varphi) = \begin{vmatrix} \frac{\partial x}{\partial r} & \frac{\partial x}{\partial \varphi} \\ \frac{\partial y}{\partial r} & \frac{\partial y}{\partial \varphi} \end{vmatrix} = \frac{8}{3} r (1 - \cos 4\varphi)$$

and notice that we can describe the astroid in terms of the coordinates  $(r, \varphi)$  as  $0 \leq r \leq a$  and  $0 \leq \varphi \leq 2\pi$ .

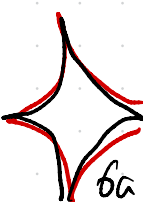
$$\Rightarrow \|g'(t)\|_2 \stackrel{a>0}{\geq} 3a \sqrt{(\cos^2 \sin)^2 + (\sin^2 \cos)^2} = 3a \sqrt{(\cos^2 + \sin^2)(\sin^2 \cos^2)} = 3a \sqrt{\cos^2 + \sin^2}$$

(3)

$$\Rightarrow L(g) = \int_0^{2\pi} \|g'(t)\| dt = 3 \int_0^{2\pi} \sqrt{\sin^2(t) \cos^2(t)} dt$$

$$= 3a \int_0^{2\pi} \left( \underbrace{\sin(t) \cos(t)}_{{= \frac{1}{2} \sin(2t)}} \right)^2 dt = 3a \int_0^{2\pi} \left| \frac{1}{2} \sin(2t) \right| dt$$

(Formelzettel)

$$= 12a \int_0^{\pi/2} \frac{1}{2} \sin(2t) dt = 12a \cdot \frac{1}{2} = 6a$$


c) Fläche (nicht so wichtig)  
siehe Tips

$$A = \int_0^a \int_0^{2\pi} 1 \cdot J(r, \varphi) d\varphi dr$$

$$= \int_0^a \int_0^{2\pi} \frac{3}{8} r (1 - \cos(4\varphi)) d\varphi dr$$

$$= \dots = \frac{3}{8} \pi a^2$$

- Symbolic tools (Sympy, Julia, Matlab, Wolfram Alpha) manchmal hilfreich

N

## QR-Algorithm for Eigenvalue Problems

$$Ax = \lambda x$$

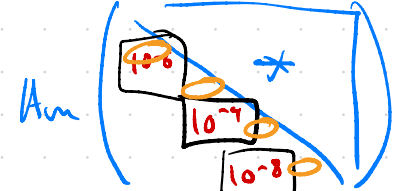
"Locking"

(4)

- Given  $A \in \mathbb{R}^{n \times n}$
- Set  $A_0 = A$
- for  $m=0,1,2,\dots$  do

$$[A] = [Q^T] [R]$$

$A_m$



- Compute  $A_m = Q_m R_m$  with  $Q_m^T = Q_{m-1}^{-1}$  ortho. &  $R_m$  upper-Δ (QR-Decomp.)
- Assign  $A_{m+1} = R_m Q_m = Q_m^T A Q_m$  (similarity ratio  $\Leftrightarrow$  same Eigen)

$$\rightarrow A_m = Q_{m-1}^T A_{m-1} Q_{m-1} = Q_{m-1}^T Q_{m-2}^T A_{m-2} Q_{m-2} Q_{m-1}$$

$$= \dots = (Q^{(m)})^T A Q^{(m)} \text{ with } Q^{(m)} := Q_0 Q_1 \dots Q_{m-1} \text{ is ortho.}$$

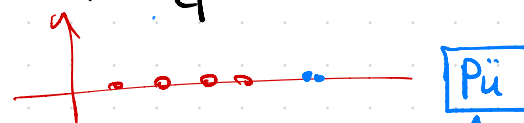
Buchi-Templates  
for the Solution  
of Eigen. Probs  
(HalBlaus  
Cover)

$\rightarrow$  Eigenvalue-Estimates: stehen auf Diagonalen von  $A_m$  (upper-Δ  $\begin{bmatrix} * & * & * \\ 0 & * & * \\ 0 & 0 & * \end{bmatrix}$ )

$\rightarrow$  Eigenvector-Estimates: stehen in Spalten von  $Q^{(m)}$

$\rightarrow$  Konvergenz: (siehe Lecture) :  $A_m = \Lambda + O(\rho^m)$

$$\text{mit } \rho := \max_{i=1 \dots n} \left| \frac{\lambda_{i+1}}{\lambda_i} \right|$$



$\hookrightarrow$  Wenn zwei Elval nahe beieinander  $\Rightarrow$  nicht so gut (mit QR mit Shift)

$\hookrightarrow$  Wenn komplex-konjugierte Elvals  $\Rightarrow$   $A_m$  konvergiert zu obererer Block A-Matrix

ZB  $A_m \rightarrow \begin{bmatrix} * & * & * & * \\ * & * & * & * \\ 0 & 0 & [*] & * \\ 0 & 0 & 0 & [*] \end{bmatrix}$

$\tilde{A}$  hat dann Elvals  $\lambda_j$  &  $\lambda_{j+n}$



## Berechnung der QR-Zerlegungen:

$\rightarrow$  Gram-Schmidt: "Wenn A vollen Rang, mache Spalten von A zu  $O \beta \Rightarrow Q$ "

$\rightarrow$  Householder: "Bringe A auf obere Dreieckstruktur  $\Rightarrow R$ ,  $Q \stackrel{\text{def}}{=} \prod \text{Trasos}$ "

Givens-Rotationen: "Entferne alle Einträge von A unterhalb des Diag"

$\rightarrow$

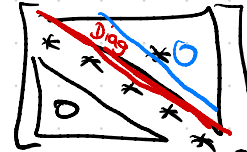
$\rightarrow$  Implementierung:  $\rightarrow$  Problem: Jede QR-Decomp. braucht  $O(n^3)$

$\rightarrow$  Beobachtung: QR-Decomp für Hessenberg-Matrizen braucht nur  $O(n^2)$  und  $H^T = RQ$  bleibt obere Hessenberg ( $\rightarrow$  siehe HA).

$\Rightarrow$  Vorbereitung der Matrix auf obere Hessenberg Gestalt (per Ähnlichkeitstrfo)

$\Rightarrow$  Hessenberg braucht zwar auch  $O(n^3)$  immal dann aber pro Iterationsschritt nur noch  $O(n^2)$  Operationen.

$\Rightarrow$  Für symmetrische Matrizen braucht man nur  $O(n)$  Givens-Rotationen mit konstantem Aufwand.



$$C A_{ij} = 0$$

(5)

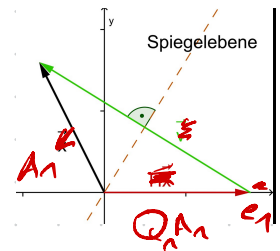
## Recall: Householder Spiegelung für QR Zerlegung

→ Matrix  $A = [A_1 \dots A_n]$  gegeben

→ Erste Householder Matrix  $Q_1 = I - 2 \frac{v_1 v_1^T}{v_1^T v_1}$  mit  $\begin{cases} \cdot v_1 = A_1 + \alpha_1 e_1 \\ \cdot \alpha_1 = \text{sgn}(A_{11}) \|A_1\|_2 \end{cases}$

→  $Q_1 A = \begin{bmatrix} * & * & * \\ 0 & * & * \\ \vdots & \ddots & * \\ 0 & * & * \end{bmatrix}$  (erste Spalte wird auf  $e_1$  projiziert.)

→  $Q_2 Q_1 A = \begin{bmatrix} * & * & * \\ * & * & * \\ 0 & * & * \\ 0 & 0 & * \end{bmatrix}$  no Nutze  $A'_1 := (Q_1 A)[2:\text{end}, 2:\text{end}]$  für Konstruktion von  $Q_2 = \begin{bmatrix} 1 & 0 \\ 0 & Q_2' \end{bmatrix}$  usw....



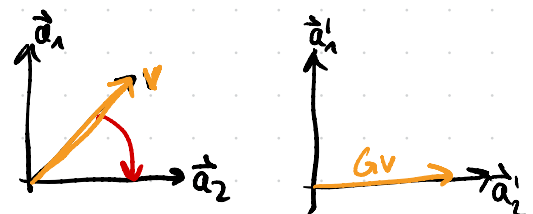
$$R = \tilde{Q} A \quad A = QR$$

→  $R = \underbrace{Q_{n-1} \cdots Q_1}_Q A = \begin{bmatrix} * & * \\ 0 & * \\ \vdots & * \end{bmatrix}$  obere  $n \times n$ -Matrix

→ Was ist  $Q^2$ :  $R = \tilde{Q} A \Leftrightarrow \tilde{Q}^{-1} R = A \Leftrightarrow \tilde{Q}^T R = A \Leftrightarrow Q = \tilde{Q}^T$

## Recall: Givens Rotationen : Drehung in Ebene

$$G(i,j,\theta) = \begin{bmatrix} 0 & 0 \\ 0 & 1 \\ 0 & c \\ 0 & -s \\ -s & c \\ 0 & 0 \end{bmatrix} \text{ mit } \begin{cases} c = \cos \theta = \frac{a_{ii}}{\rho} \\ s = \sin \theta = \frac{a_{ij}}{\rho} \\ \rho = \sqrt{a_{ii}^2 + a_{ij}^2} \end{cases} ?!$$



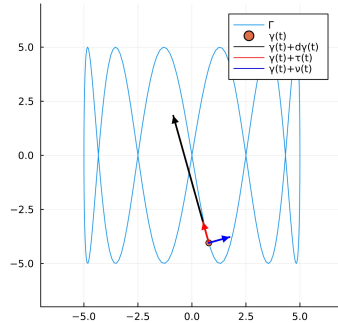
$$G(n,1) \cdot A = \begin{bmatrix} * & * \\ \vdots & * \\ 0 & 0 \end{bmatrix} \rightarrow \text{Kann für QR benutzt werden}$$

→ Insbesondere QR für Hessenberg Matrizen in  $O(n-1)$  Givens-Rotationen [mit konst oder variablen Koeffizienten!]  
Eintrag (i,j) wird zu Null

## Demo

## Kurven

8.953539062730911



- QR Algorithmus
- Konvergenz
- Householder Hessenberg Trafo
- Givens QR für tridiagonale Matrizen

## QR Algorithm Native

We use Julia's standard `qr()` function and implement:

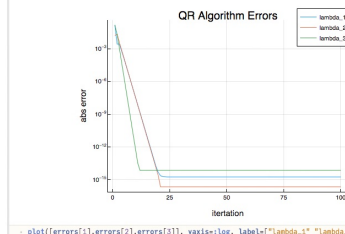
- Given  $A \in \mathbb{R}^{n \times n}$
- Initialize  $Q^{(n+1)} = I$
- For  $k = 1, \dots, m$ :
  - Calculate QR-Decomposition:  $A_k = Q_k R_k$
  - Update:  $A_{k+1} = R_k Q_k$
- Return diagonal entries of  $A_m$  and  $Q^{(m)} = Q_m \cdots Q_0 Q_1$

```
qra_general (generic function with 1 method)
- function qra_general(A, m)
  #assert size(A)[1] == size(A)[2] & length(size(A))==2
  n = size(A)[1]
  Qm = I(n)
  for k=1:m
    Q, R = qr(A)
    A = R * Q
    Qm = Qm * Q
  end
  return diag(A), Qm
end
```

## Check Convergence

```
begin
  N = 100
  tape = Array[]
  for k=1:N
    push!(tape, sort(qra_general(A, k)[1], rev=false)) # don't do this, very
    inefficient
  end
end

errors =
#Array{Float64,1}[Float64[0.137636, 0.08263023, 0.00266808, 0.000628078, 0.00012773,
  errors = [
  abs.(map(x => x[1], tape) .- eigen(A).values[1]),
  abs.(map(x => x[2], tape) .- eigen(A).values[2]),
  abs.(map(x => x[3], tape) .- eigen(A).values[3]),
]
```



## Improve QR Algorithm with Upper Hessenberg Matrix Preconditioning

- Ideas: QR decomposition costs  $\mathcal{O}(n^3)$ , QR for Hessenberg matrices is easier done in  $\mathcal{O}(n^2)$ . Linear complexity is even possible if  $A$  is symmetric. In this case, the QR decomposition only needs  $\mathcal{O}(n)$ . Givens rotations with constant effort.
- Therefore transform the matrix  $A$  to upper Hessenberg form with similarity transforms in  $\mathcal{O}(n^2)$  (also cubic, but only needs to be done once) and use this matrix for the QR algorithm.

## Upper Hessenberg Shape

$$H = \begin{pmatrix} h_{11} & h_{12} & h_{13} & \cdots & h_{1n} \\ 0 & h_{22} & h_{23} & \cdots & h_{2n} \\ \vdots & \ddots & \ddots & \ddots & \vdots \\ 0 & \cdots & 0 & h_{nn-1} & h_{nn} \end{pmatrix}$$

Algorithm [1]:

- Given:  $A \in \mathbb{R}^{n \times n}$
  - For  $k = 1, \dots, n-2$  do
    - $[v, \beta] \leftarrow \text{house}(A(k+1:n, k))$
    - $A(k+1:n, k:n) \leftarrow (I - \beta v v^T) A(k+1:n, k:n)$
    - $A(1:n, k+1:n) \leftarrow A(1:n, k+1:n) (I - \beta v v^T)$
- with Householder reflection vector  $v$  and weight  $\beta = 2/(v^T v)$ .

[1]: <https://www.tu-chemnitz.de/mathematik/numa/elhe/nla-z05/folien/nla-kapitel6.pdf>

upperhessenberg (generic function with 1 method)

```
function upperhessenberg(A)
  #assert size(A)[1] == size(A)[2] & length(size(A))==2
  n = size(A)[1]
  for k = 1:n-2
    v, beta = house(A[k+1:n, k])
    A[k+1:n, k:n] = [[(k+1:n) - beta * v * v^T] * A[k+1:n, k:n]
    A[1:n, k+1:n] = A[1:n, k+1:n] * (I - beta * v * v^T)
  end
  return A
end
```

## Speed Check

We still loose against Julia's native qr-method. 😊

- Homework: Improve this.

```
QRA General:
0.066218 seconds (30.90 k allocations: 51.228 MiB, 4.84% gc time)
QRA Own:
0.047889 seconds (99.22 k allocations: 752.204 MiB, 13.56% gc time)
```

```
with_terminal() do
  N = 100
  M = 80
  C = Array(Symmetric(rand(N,N)))
  # @time qr(C)
  # @time qr_symm_hess(C)
  # @time upperhessenberg(C)
  println("QRA General:")
  @time Am1, Qm1 = qra_general(C, M)
  println("QRA Own:")
  @time Am2, Qm2 = qra_symmm(C, M)
end
```